

Analisi di Immagini e Video (Computer Vision)

Giuseppe Manco

Outline

- Generative Modeling
 - Motivazioni
 - task
- Approcci
 - Variational Autoencoders
 - **Generative Adversarial Networks**

Crediti

- Alcune slides adattate da altri corsi:
 - Computer Vision (I. Gkioulekas) - CS CMU Edu

Recap: ML estimation

- Dato un campione $X = \{x_1, x_2, \dots, x_n\}$
 - Generato da una distribuzione (sconosciuta) \mathbb{P}_r
- E data una distribuzione candidata \mathbb{P}_θ parametrizzata da θ
- Troviamo il parametro $\hat{\theta}$ che ottimizza la verosimiglianza:

$$\begin{aligned}\hat{\theta} &= \operatorname{argmax}_\theta P_\theta(X) \\ &= \operatorname{argmax}_\theta \prod_i P_\theta(x_i) \\ &= \operatorname{argmax}_\theta \sum_i \log P_\theta(x_i) \\ &= \operatorname{argmax}_\theta \mathbb{E}_{x \sim \mathbb{P}_r} \log P_\theta(x)\end{aligned}$$

Problemi con ML

- ML è consistente: in linea di massima, può apprendere qualsiasi distribuzione, se osserva una quantità infinita di dati e lo spazio dei parametri è completo

- Minimizzare la ML è equivalente a minimizzare la Kullback-Leibler (KL) divergence tra la vera distribuzione \mathbb{P}_r e la distribuzione candidata \mathbb{P}_θ

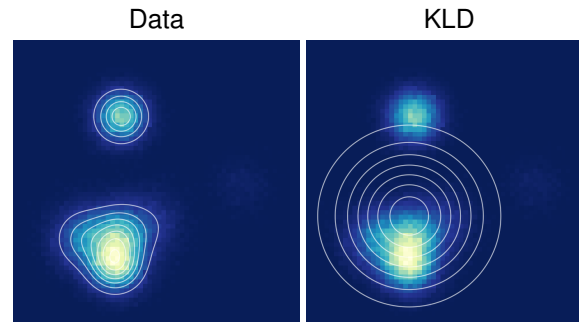
$$KL[\mathbb{P}_r | \mathbb{P}_\theta] = \int P_r(x) \log \frac{P_r(x)}{P_\theta(x)} dx$$

- Tuttavia, nella realtà (a causa della mis-specifica del modello e della quantità di dati finite), tende a produrre modelli **overgeneralized**

Problemi con ML

$$KL[\mathbb{P}_r | \mathbb{P}_\theta] = \int P_r(x) \log \frac{P_r(x)}{P_\theta(x)} dx$$

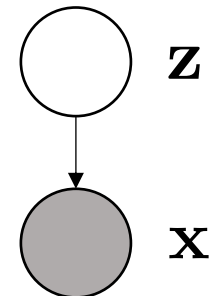
- Quando $P_r(x) > P_\theta(x)$, larghe regioni di \mathbb{P}_r assumono valori bassi in \mathbb{P}_θ . Il loro contributo sulla $KL[\mathbb{P}_r | \mathbb{P}_\theta]$ tende a infinito.
- Tuttavia, quando $P_r(x) < P_\theta(x)$, x ha una bassa (true) probability, ma un'alta probabilità di essere generato dal modello. Il contributo a $KL[\mathbb{P}_r | \mathbb{P}_\theta]$ tende a 0.



Source: [Theis et al 2016]

Latent generative models

- Assumiamo un processo stocastico, governato da variabili latent z



- Deep latent generative models:

- $P(x|z)$ è definita da una rete neurale
- Variational Autoencoders
- Generative Adversarial Networks

$$\mathbf{z} \sim P_\phi(\cdot)$$

$$\mathbf{x} \sim P_\theta(\cdot|\mathbf{z})$$

$$P(\mathbf{x}) = \int P(\mathbf{x}|\mathbf{z})P(\mathbf{z})d\mathbf{z}$$

Variational Autoencoders

- Definiamo una proposal distribution Q_ϕ parametrizzata da ϕ
- Approssimiamo la log-likelihood con

$$\log P(x) \geq \mathbb{E}_{z \sim Q_\phi} [\log P_\theta(x|z)] - \text{KL}[Q_\phi(z)|P(z)]$$

Evidence Lower Bound (ELBO)

- Ottimizziamo ELBO su ϕ e θ

Variational Autoencoders

- Vantaggi:
 - Robusto all'overfitting (effetto regolarizzazione sulle variabili latenti)
 - Le variabili latent sono interpretabili (tramite $P(z|x)$)
- Svantaggi: esempi imprecisi (blurry)
 - ML-oriented training
 - ELBO è un'approssimazione della log-likelihood
 - Assunzioni sulla prior di z

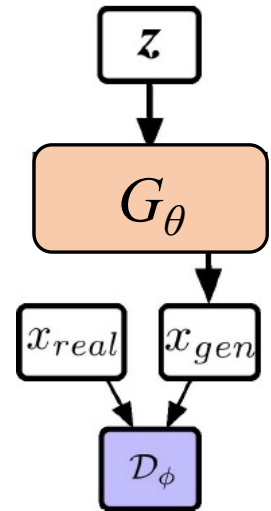
Generative Adversarial Networks (GANs)

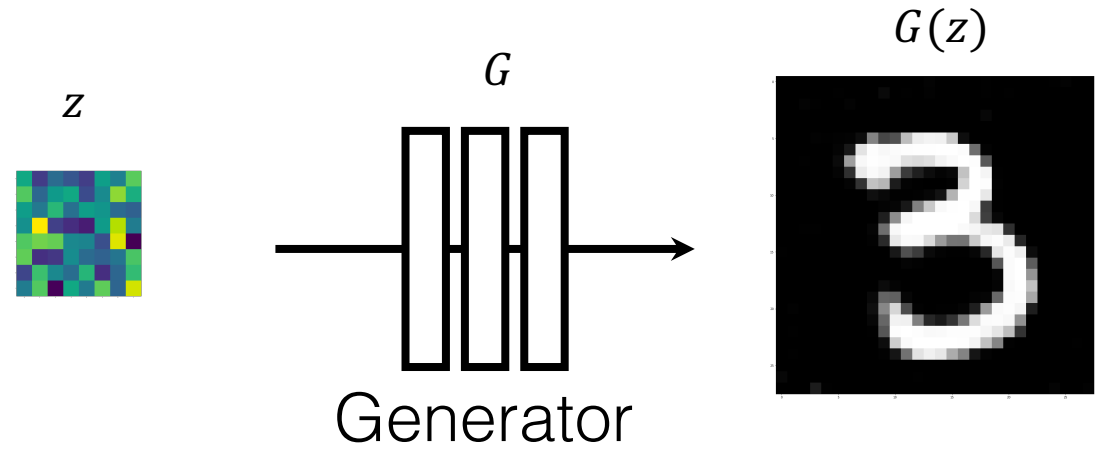
- **Modello**

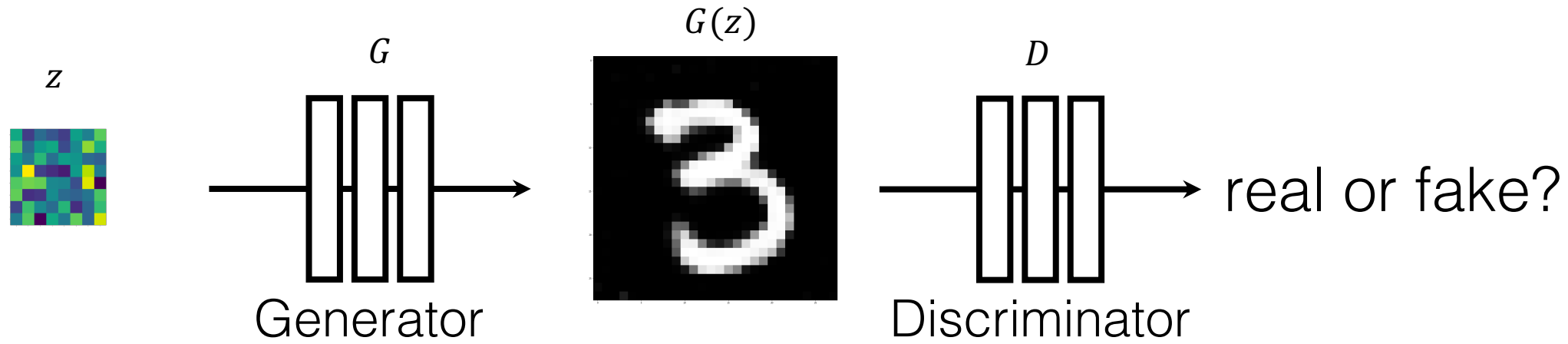
- Obiettivo: addestrare una funzione G_θ che trasforma un valore random z in un dato
 - Nessuna assunzione sulle distribuzioni dei dati o sulle variabili latenti
 - Implementa la funzione di sampling da $P_\theta(x)$ in maniera efficiente
 - Può riprodurre qualsiasi distribuzione $P(x)$ se G_θ è sufficientemente complessa

- **Learning as a two-player game**

- *Discriminator* D_ϕ : Addestrato a discriminare tra dati reali e dati generati
- *Generator* G_θ : Addestrato a generare esempi realistici per confondere il discriminatore

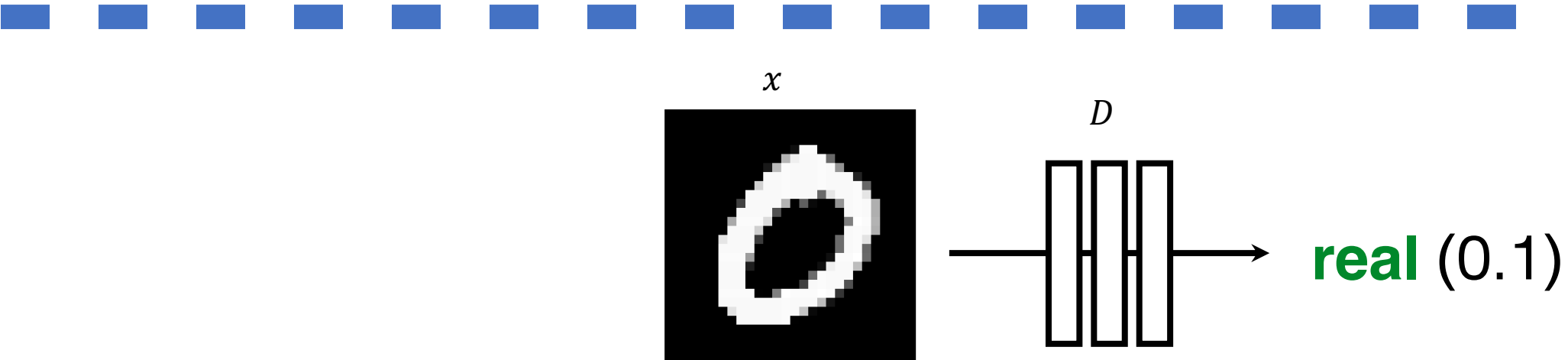
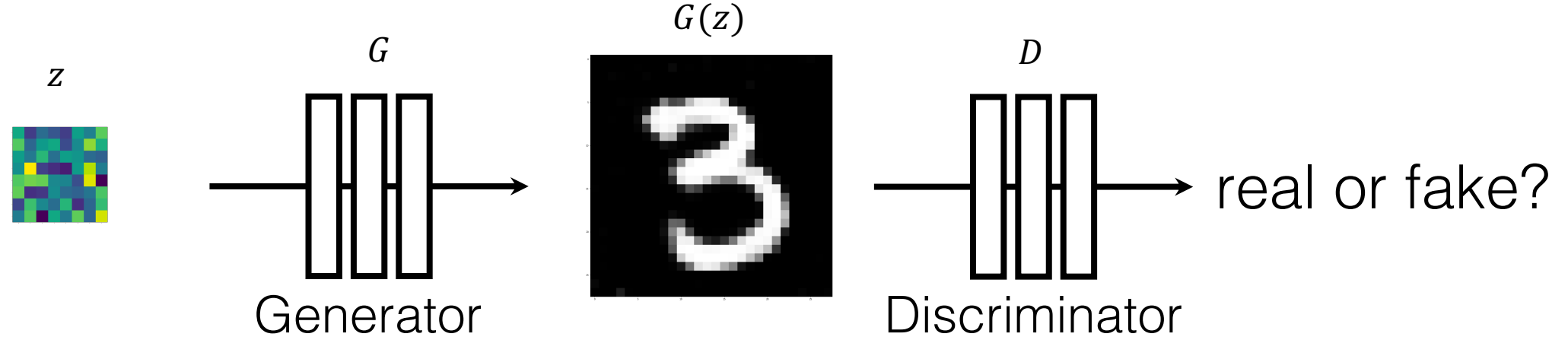






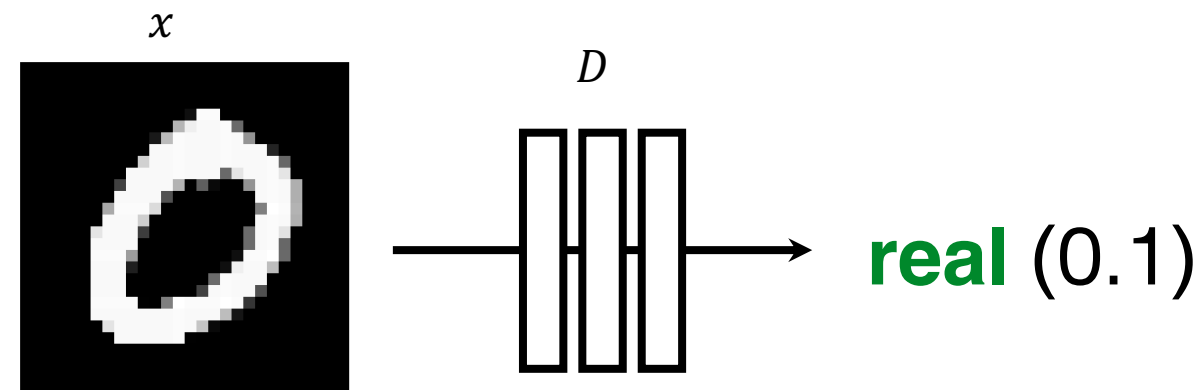
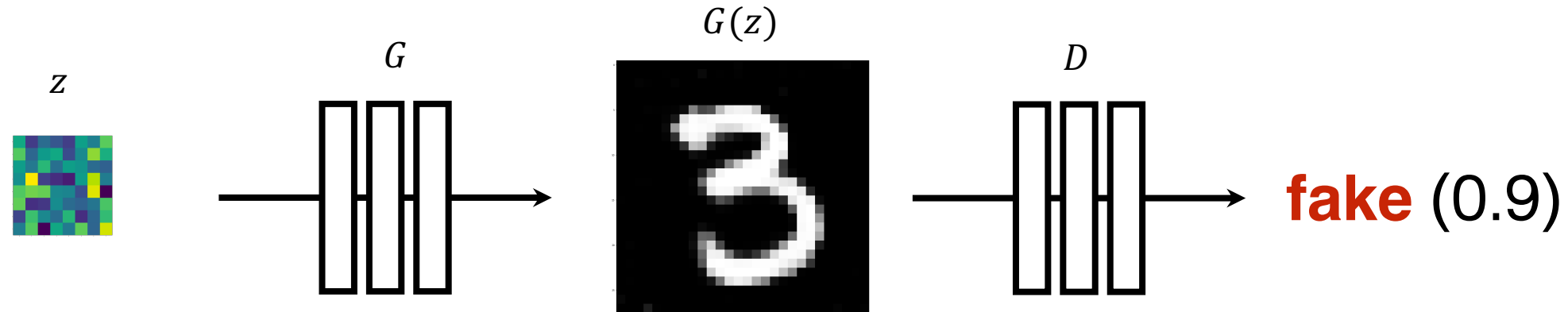
G sintetizza immagini che confondono **D**

D identifica le fakes

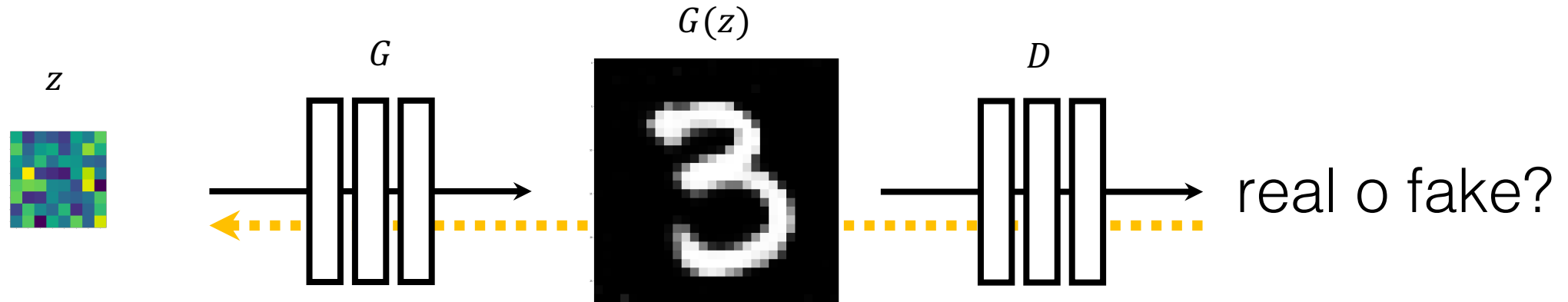


$argmax_D$

$$\mathbb{E}_x [\log D(x)]$$

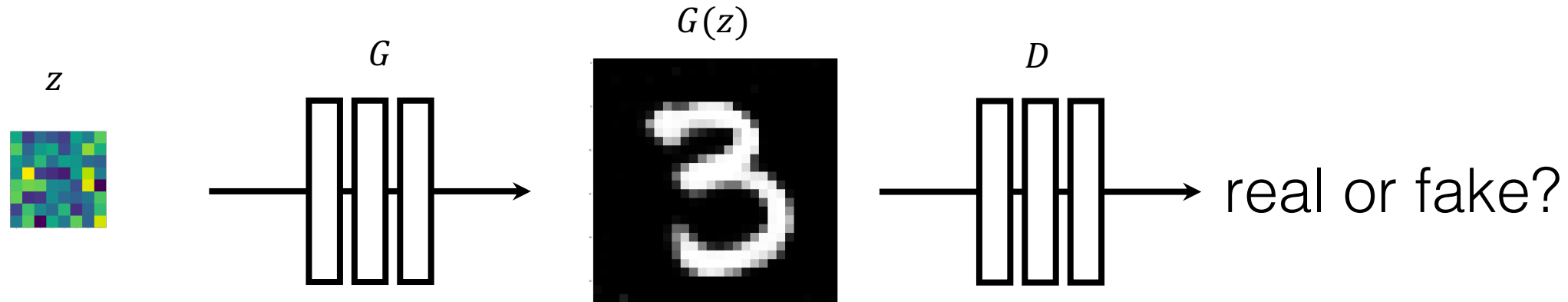


$$\operatorname{argmax}_D \operatorname{argmin}_G \mathbb{E}_x [\log D(x) + \log(1 - D(G(z)))]$$



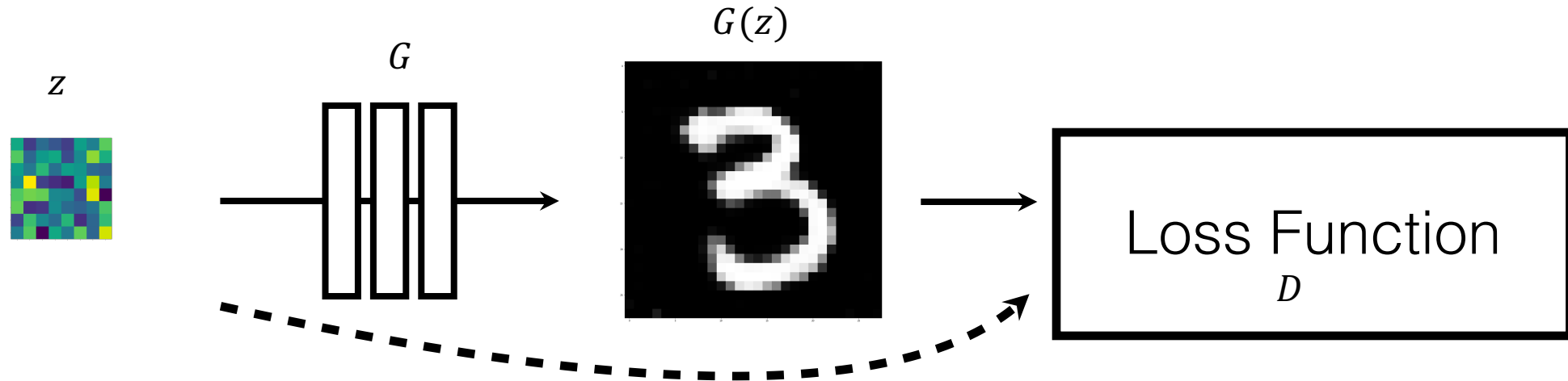
G sintetizza le immagini che *confondono* **D**:

$$\operatorname{argmax}_D \boxed{\operatorname{argmin}_G \mathbb{E}_x [\log D(x) + \log(1 - D(G(z)))]}$$



G sintetizza le immagini che *confondono* il *miglior D*:

$$\text{argmax}_D \text{argmin}_G \mathbb{E}_x [\log D(x) + \log(1 - D(G(z)))]$$



Per **G**, **D** è una funzione di loss.

Piuttosto che essere definita a mano, è *appresa*.

Perché è meglio della ML?

- Discriminator Loss:

$$L_D(\phi, \theta) = \mathbb{E}_{x \sim \mathbb{P}_r} [\log D_\phi(x)] + \mathbb{E}_{x \sim \mathbb{P}_\theta} [\log(1 - D_\phi)]$$

- Generator loss

$$L_G(\phi, \theta) = -L_D(\phi, \theta)$$

- Adversarial Game

$$\max_{\phi} \min_{\theta} \mathbb{E}_{x \sim \mathbb{P}_r} [\log D_\phi(x)] + \mathbb{E}_{x \sim \mathbb{P}_\theta} [\log(1 - D_\phi)]$$

Perché è meglio della ML?

- Optimal discriminator:

$$L_D(\phi, \theta) = \int p_r(x) \log D(x) + p_\theta(x) \log(1 - D(x)) dx$$

- Massimizzando il termine all'interno dell'integrare rispetto a $D(x)$:

$$D^*(x) = \frac{P_r(x)}{P_r(x) + P_\theta(x)}$$

Perché è meglio della ML?

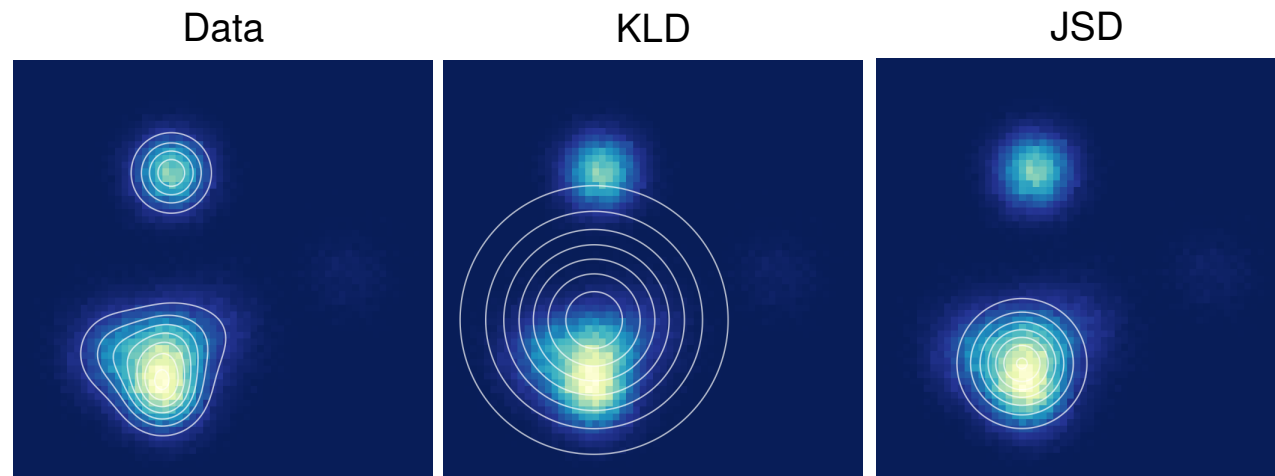
$$\begin{aligned} L_D(D^*, \theta) &= \int p_r(x) \log D(x) + p_\theta(x) \log(1 - D(x)) dx \\ &= \int p_r(x) \log \frac{P_r(x)}{P_r(x) + P_\theta(x)} + p_\theta(x) \log \frac{P_\theta(x)}{P_r(x) + P_\theta(x)} dx \\ &= KL \left[\mathbb{P}_r \middle| \frac{\mathbb{P}_\theta + \mathbb{P}_r}{2} \right] + KL \left[\mathbb{P}_\theta \middle| \frac{\mathbb{P}_\theta + \mathbb{P}_r}{2} \right] - 2 \log 2 \\ &= 2JS[\mathbb{P}_r \|\mathbb{P}_\theta] - 2 \log 2 \end{aligned}$$

Perché è meglio della ML?

$$L_G(D^*, \theta) \approx JS[\mathbb{P}_r | \mathbb{P}_\theta]$$

- Minimizzare su θ equivale a minimizzare la Jensen-Shannon Divergence

$$JS[\mathbb{P}_r | \mathbb{P}_\theta] = \frac{1}{2}KL[\mathbb{P}_r | \mathbb{P}_\theta] + \frac{1}{2}KL[\mathbb{P}_\theta | \mathbb{P}_r]$$



Source: [Theis et al 2016]

Schema GAN

Algorithm 1 Inference algorithm.

```
1 Initialize  $\phi$  and  $\theta$ 
2 for number of epochs do
3   for  $k$  steps do
4     Sample  $\{\tilde{x}_\theta^{(1)}, \dots, \tilde{x}_\theta^{(m)}\}$  from  $\mathbb{P}_\theta$ ;
5     Sample  $\{x^{(1)}, \dots, x^{(1)}\}$  from  $\mathbb{P}_r$ ;
6     Update  $\phi$  by ascending its stochastic gradient:

$$\nabla_\phi \frac{1}{m} \sum_{i=1}^m \left[ \log(D_\phi(x^{(i)})) + \log(1 - D_\phi(\tilde{x}_\theta^{(1)})) \right]$$

7   end for
8   Sample  $\{\tilde{x}_\theta^{(1)}, \dots, \tilde{x}_\theta^{(m)}\}$  from  $\mathbb{P}_\theta$ ;
9   Update  $\theta$  by descending its stochastic gradient:

$$\nabla_\theta \frac{1}{m} \sum_{i=1}^m \log(1 - D_\phi(\tilde{x}_\theta^{(i)}))$$

10 end for
11 Return  $\phi$  and  $\theta$ .
```

Schema GAN

- Critico: Backpropagation dagli esempi

Algorithm 1 Inference algorithm.

```
1 Initialize  $\phi$  and  $\theta$ 
2 for number of epochs do
3   for  $k$  steps do
4     Sample  $\{\tilde{x}_\theta^{(1)}, \dots, \tilde{x}_\theta^{(m)}\}$  from  $\mathbb{P}_\theta$ ;
5     Sample  $\{x^{(1)}, \dots, x^{(1)}\}$  from  $\mathbb{P}_r$ ;
6     Update  $\phi$  by ascending its stochastic gradient:

$$\nabla_\phi \frac{1}{m} \sum_{i=1}^m [\log(D_\phi(x^{(i)})) + \log(1 - D_\phi(\tilde{x}_\theta^{(1)}))]$$

7   end for
8   Sample  $\{\tilde{x}_\theta^{(1)}, \dots, \tilde{x}_\theta^{(m)}\}$  from  $\mathbb{P}_\theta$ ;
9   Update  $\theta$  by descending its stochastic gradient:

$$\nabla_\theta \frac{1}{m} \sum_{i=1}^m \log(1 - D_\phi(\tilde{x}_\theta^{(i)}))$$

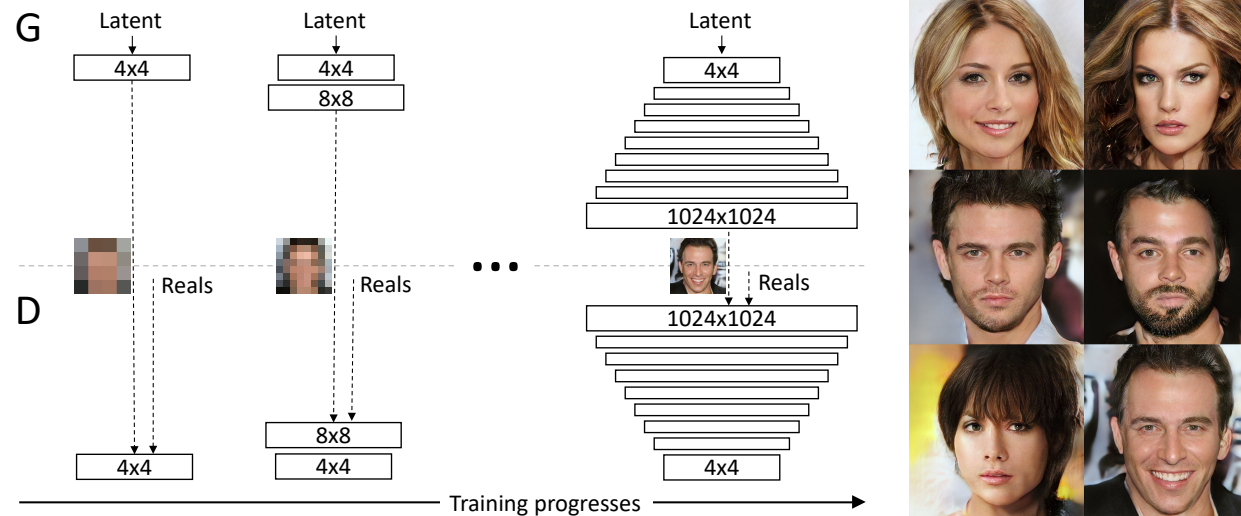
10 end for
11 Return  $\phi$  and  $\theta$ .
```

Training Challenges

- Problemi
 - Mode Collapse
 - Slow Convergence
 - Overgeneralization
 - Instabilità
- Rimedi
 - Network Depth
 - Game setup, loss refinement
 - Hacks

Network Depth

- Processo iterativo
 - Aumentiamo la complessità della rete progressivamente



Game Setup

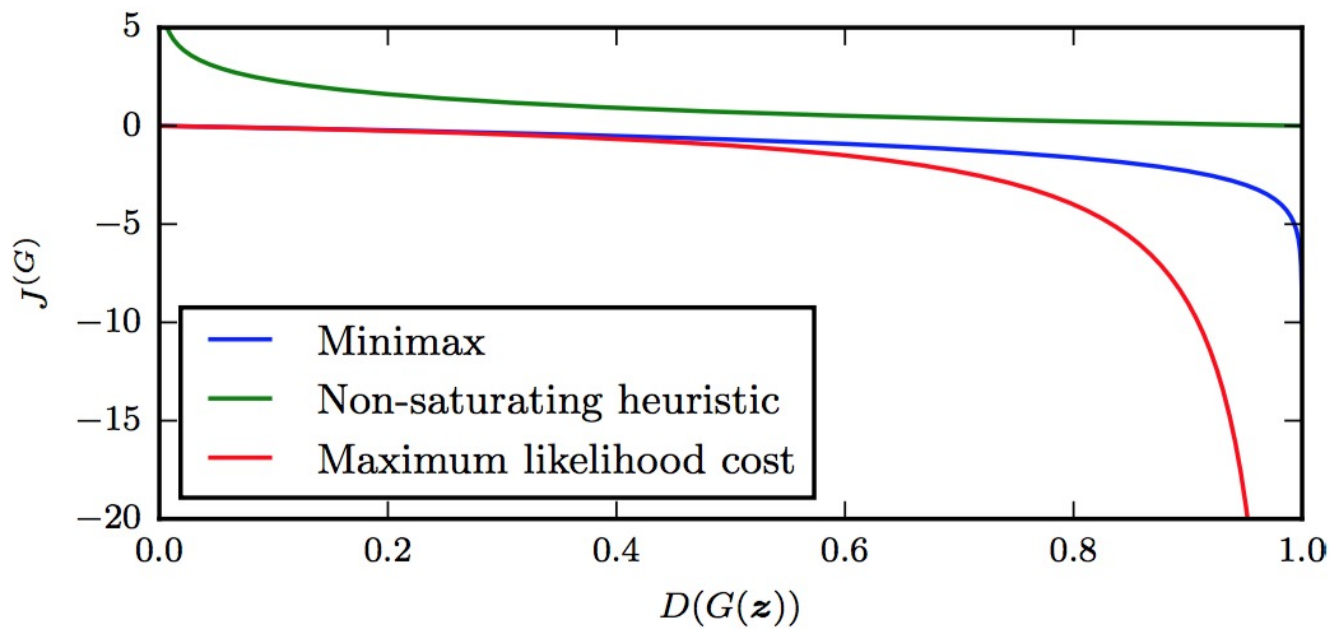
- Min-Max Gaming è instabile

$$L_D(\phi, \theta) = \mathbb{E}_{x \sim \mathbb{P}_r} [\log D_\phi(x)] + \mathbb{E}_{x \sim \mathbb{P}_\theta} [\log(1 - D_\phi)] \quad L_G(\phi, \theta) = -L_D(\phi, \theta)$$

- Non-Saturating GAN

$$L_G(\phi, \theta) = \mathbb{E}_{x \sim \mathbb{P}_\theta} [\log(D_\phi)]$$

Game setup



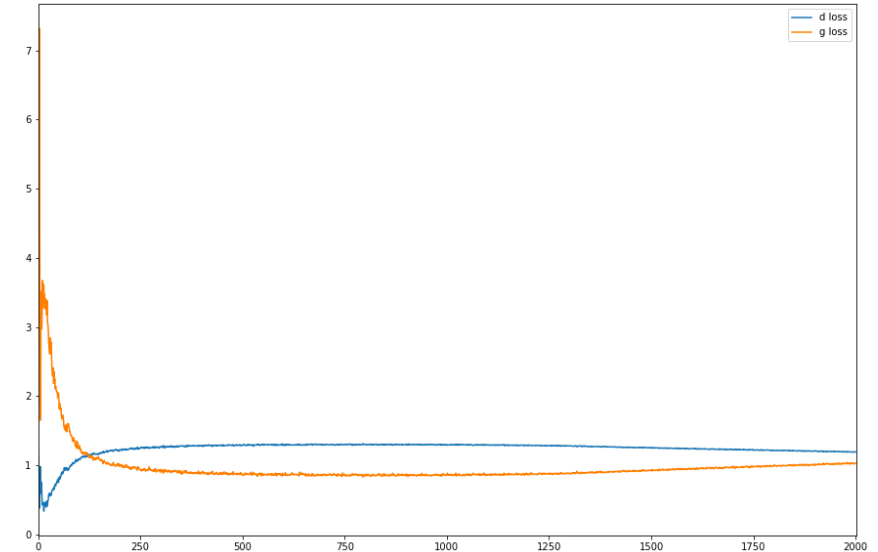
Instabilità

- Quando fermare il training?
- Wassersteing GAN
 - Sostituisce la JS con EM distance

$$L_D(\phi, \theta) = \mathbb{E}_z[f_\phi(G(z))] - \mathbb{E}_{x \sim \mathbb{P}_r}[f_\phi(x)]$$

$$L_G(\phi, \theta) = -L_D(\phi, \theta)$$

- f_ϕ 1-Lipshitz: $|f_\phi(x_1) - f_\phi(x_2)| \leq |x_1 - x_2|$
 - Gradient clipping
 - Gradient penalties



Hacks

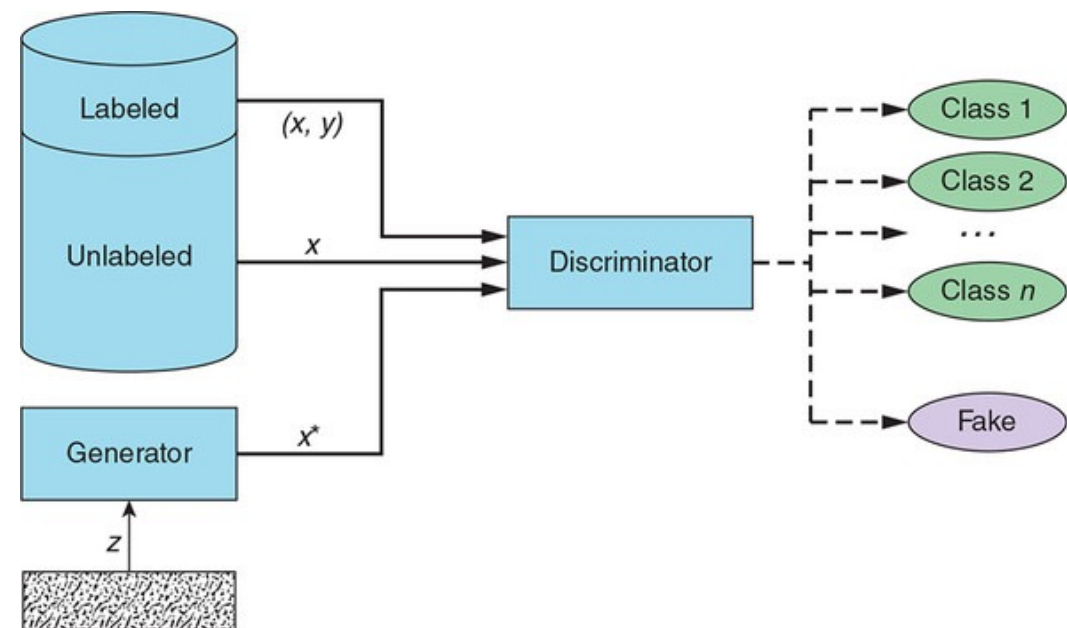
- Normalizzazione degli input
- Batch Normalization
- Gradient penalties
- Variare (aumentare) le iterazioni sul discriminatore
- Soft/noisy labels sul discriminator
- Evitare gradienti sparsi
 - No ReLU/MaxPool

Sviluppi

- Semi-Supervised GAN
- Conditional GAN
- CycleGAN

Semi-supervised GAN

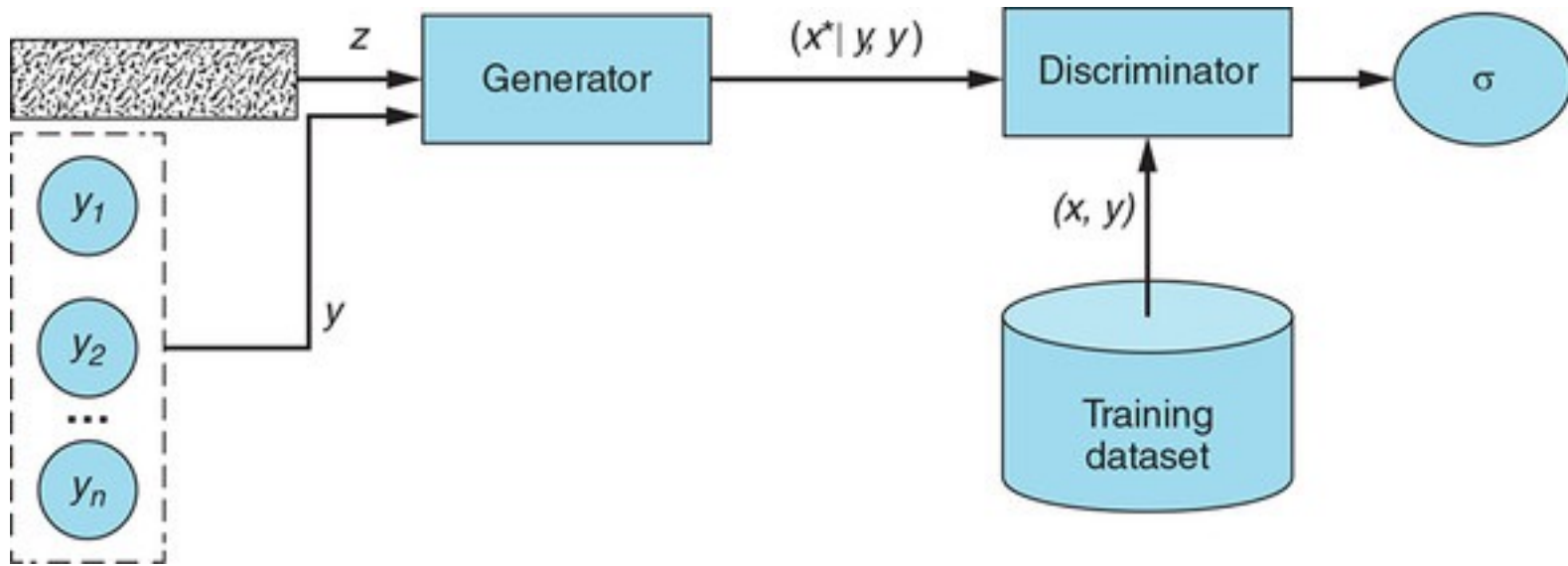
- Idea: utilizziamo il generator per irrobustire un discriminatore



$$L_D(\phi, \theta) = \mathbb{E}_{x,y \sim \mathbb{P}_r} [\log D_\phi(y|x)] + \mathbb{E}_{x \sim \mathbb{P}_\theta} \left[\log \left(1 - \sum_y D_\phi(y|x) \right) \right]$$

$$L_G(\phi, \theta) = \mathbb{E}_{x \sim \mathbb{P}_\theta} \left[\log \left(\sum_y D_\phi(y|x) \right) \right]$$

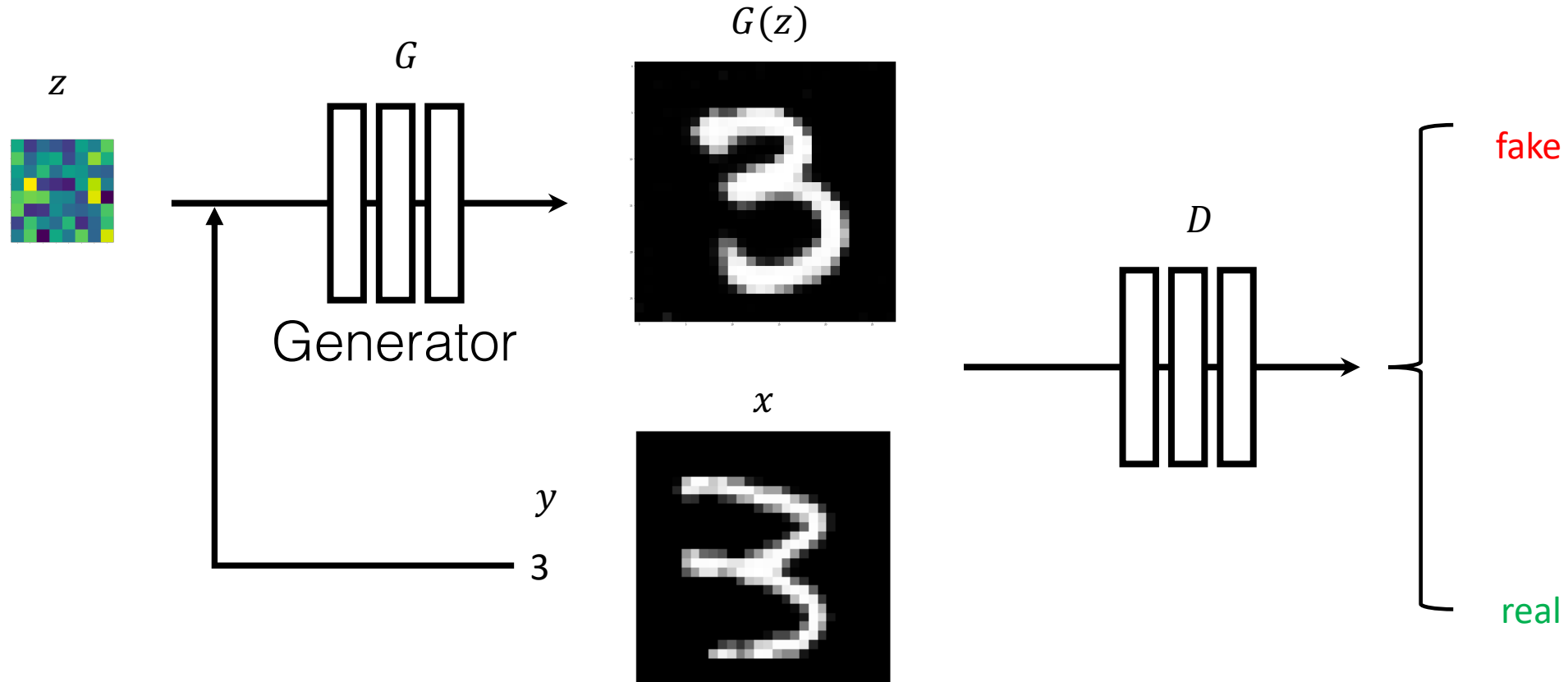
Conditional GAN



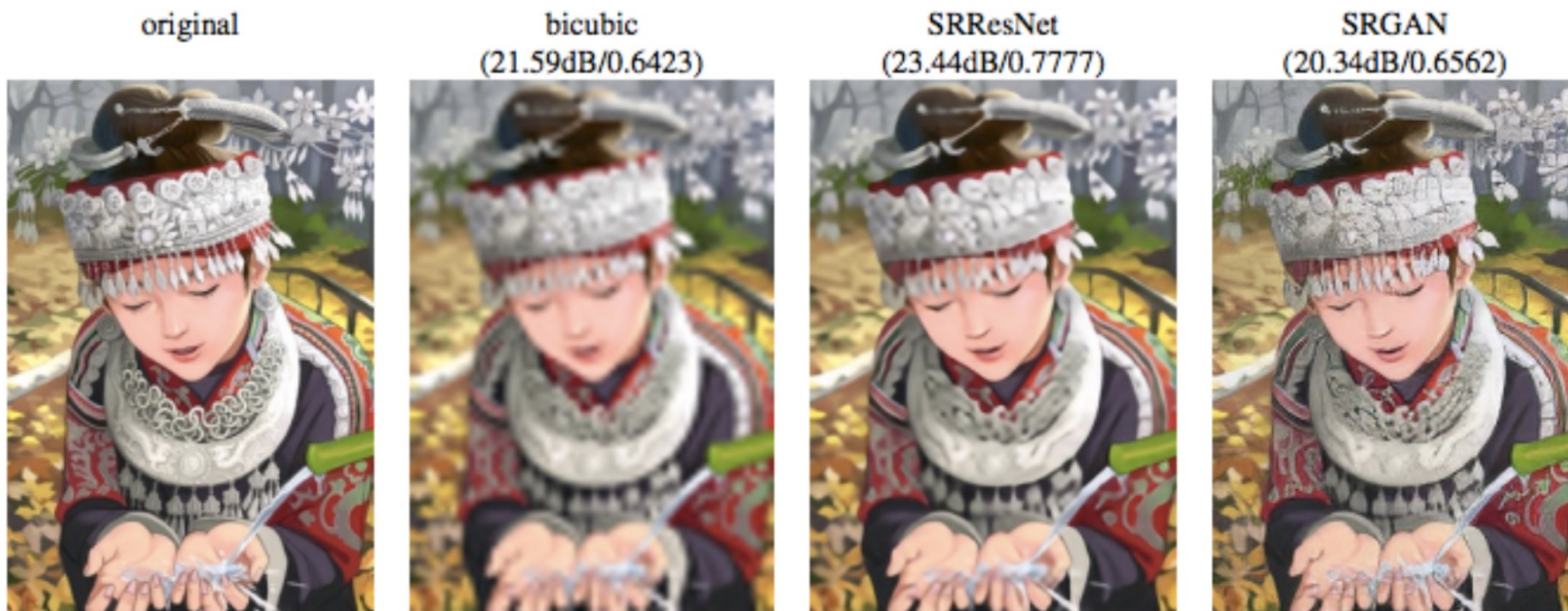
$$L_D(\phi, \theta) = \mathbb{E}_{x,y \sim \mathbb{P}_r} [\log D_\phi(y, x)] + \mathbb{E}_{x \sim \mathbb{P}_\theta(y)} \left[\log \left(1 - \sum_y D_\phi(y, x) \right) \right]$$

$$L_G(\phi, \theta) = \mathbb{E}_{x \sim \mathbb{P}_\theta(y)} \left[\log \left(\sum_y D_\phi(y, x) \right) \right]$$

Supervised GAN-MNIST



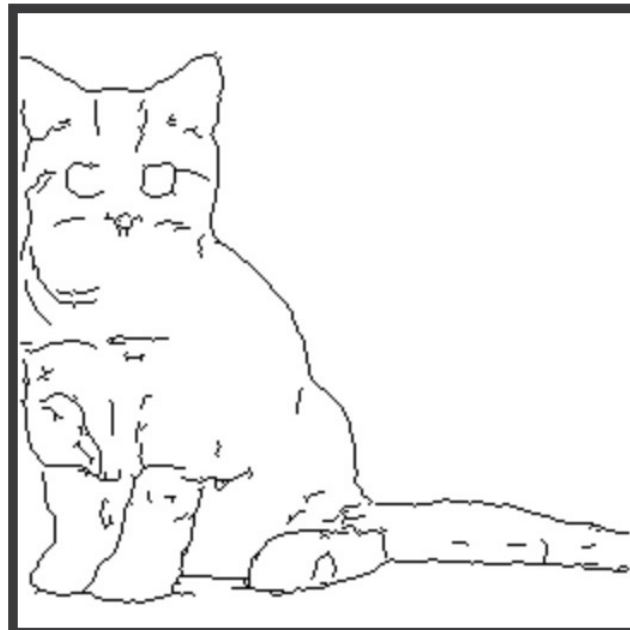
Esempi: Super Resolution



Esempi: Image to Image Translation



INPUT



OUTPUT



pix2pix
process

undo

clear

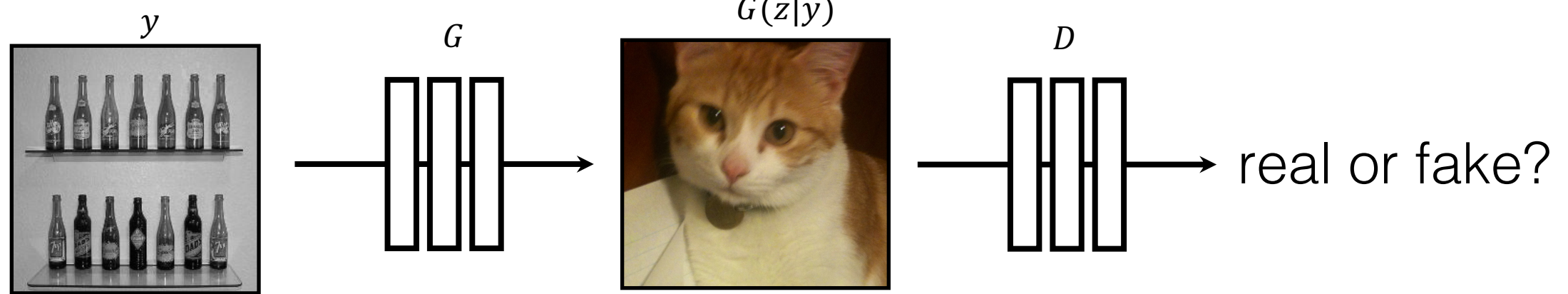
random

save

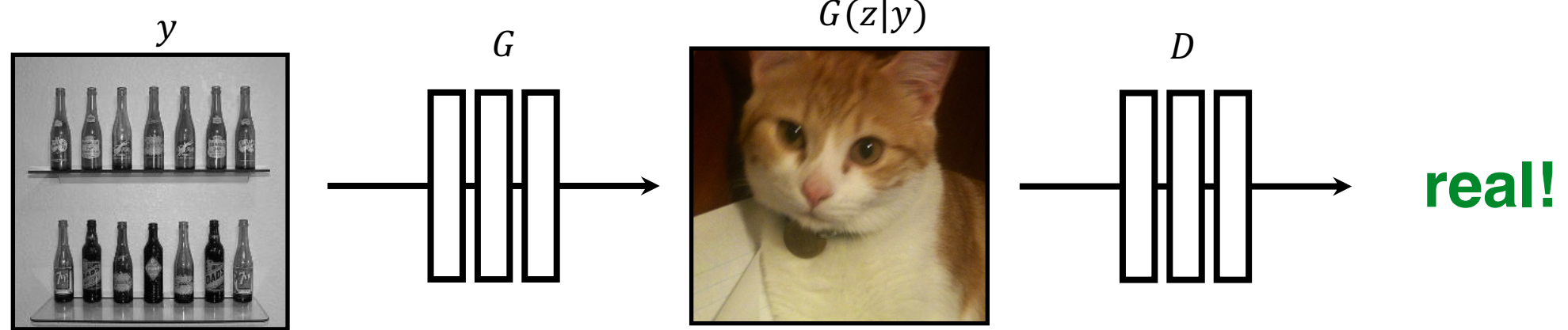
<https://affinelayer.com/pixsrv/>

Esempio: Colorization

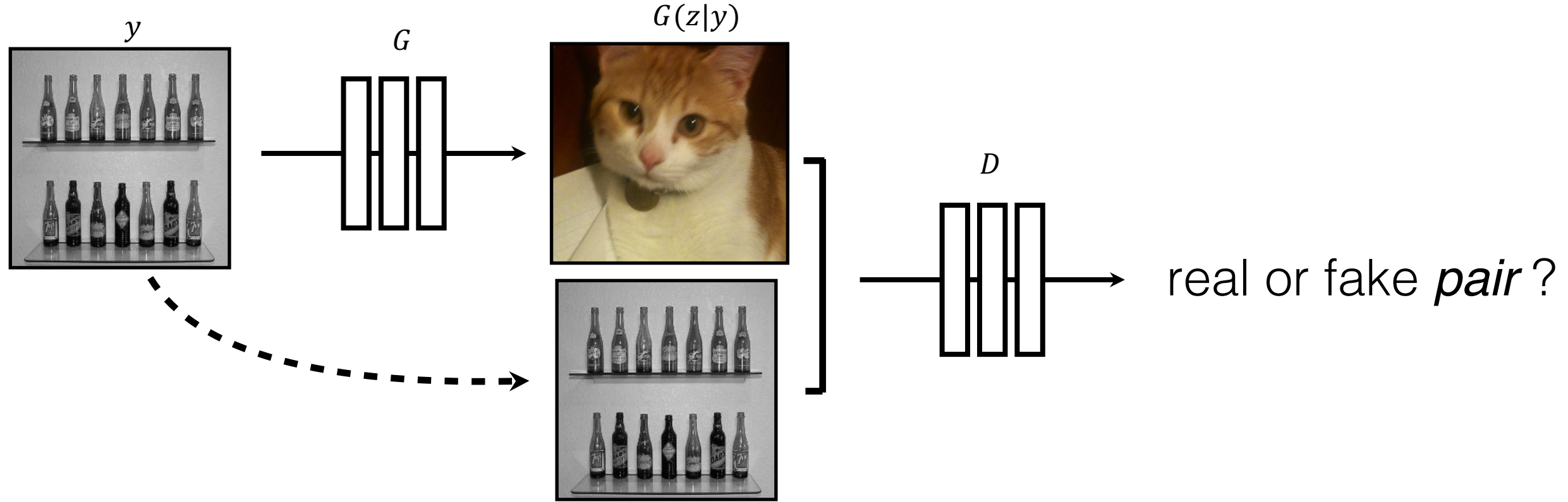




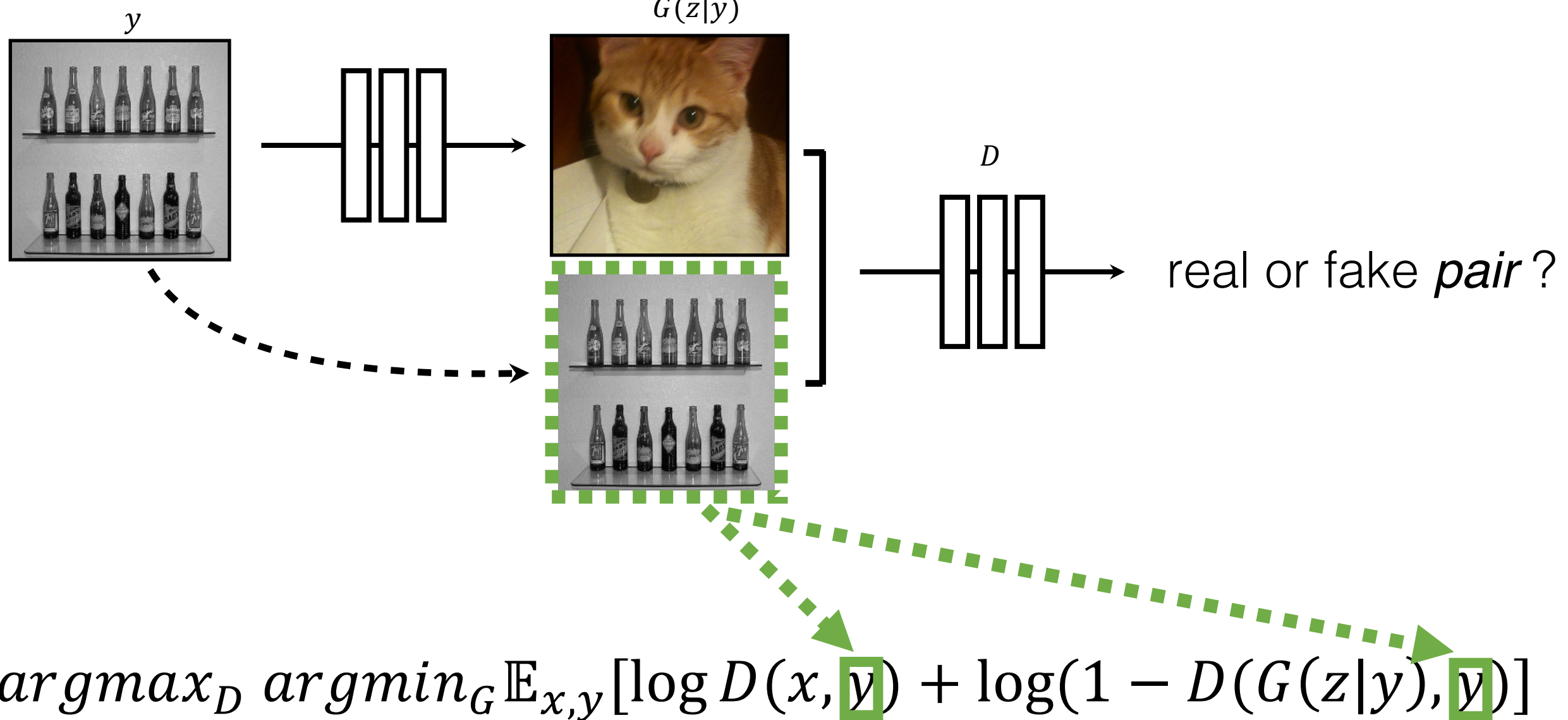
$$\operatorname{argmax}_D \operatorname{argmin}_G \mathbb{E}_{x,y} [\log D(x,y) + \log(1 - D(G(x|y), y)]$$

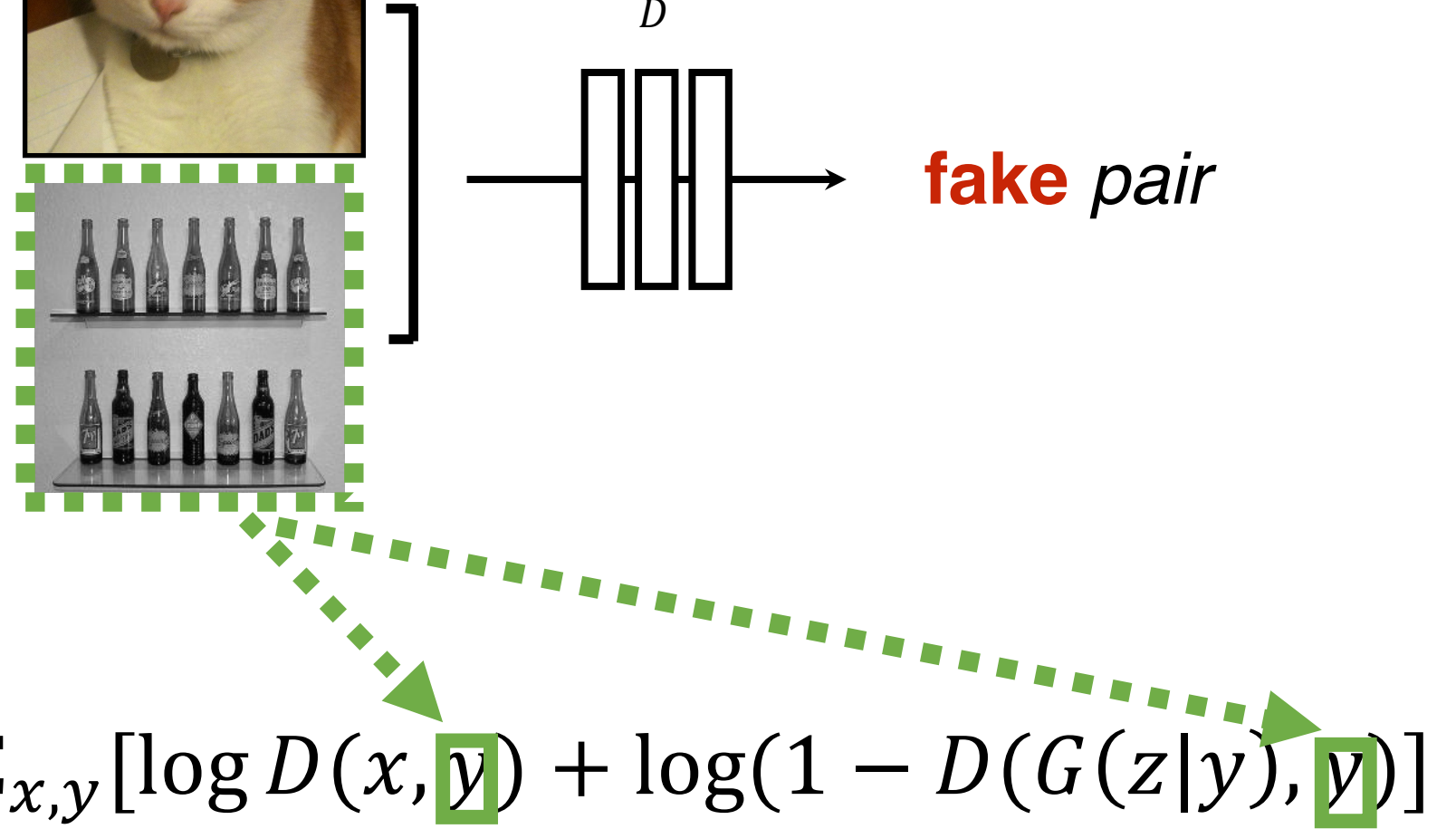
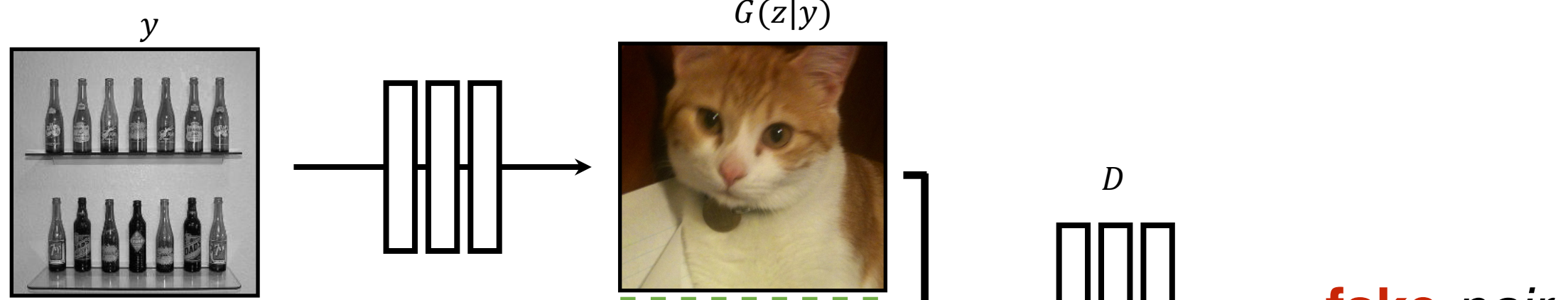


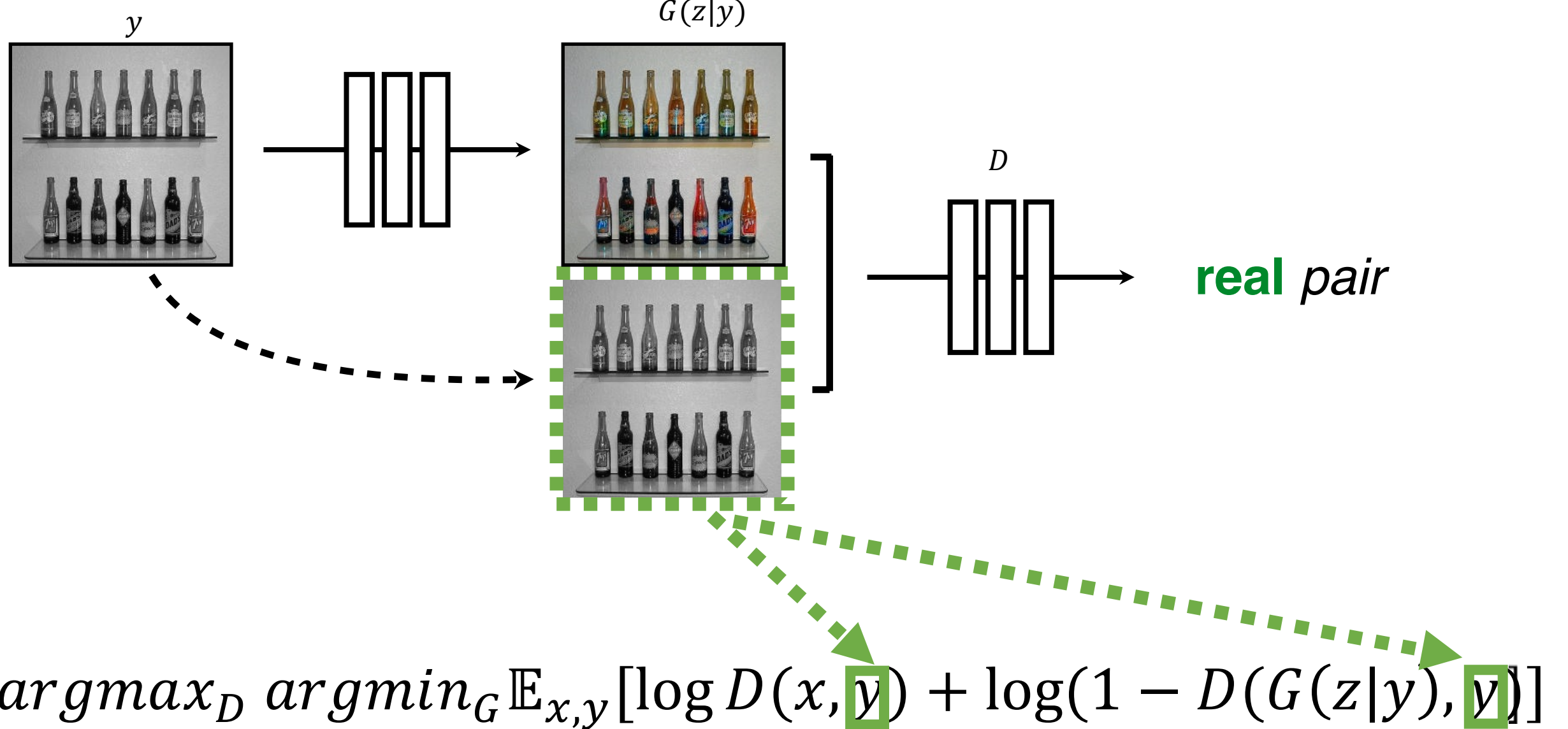
$$\operatorname{argmax}_D \operatorname{argmin}_G \mathbb{E}_{x,y} [\log D(x) + \log(1 - D(G(z|y)))]$$

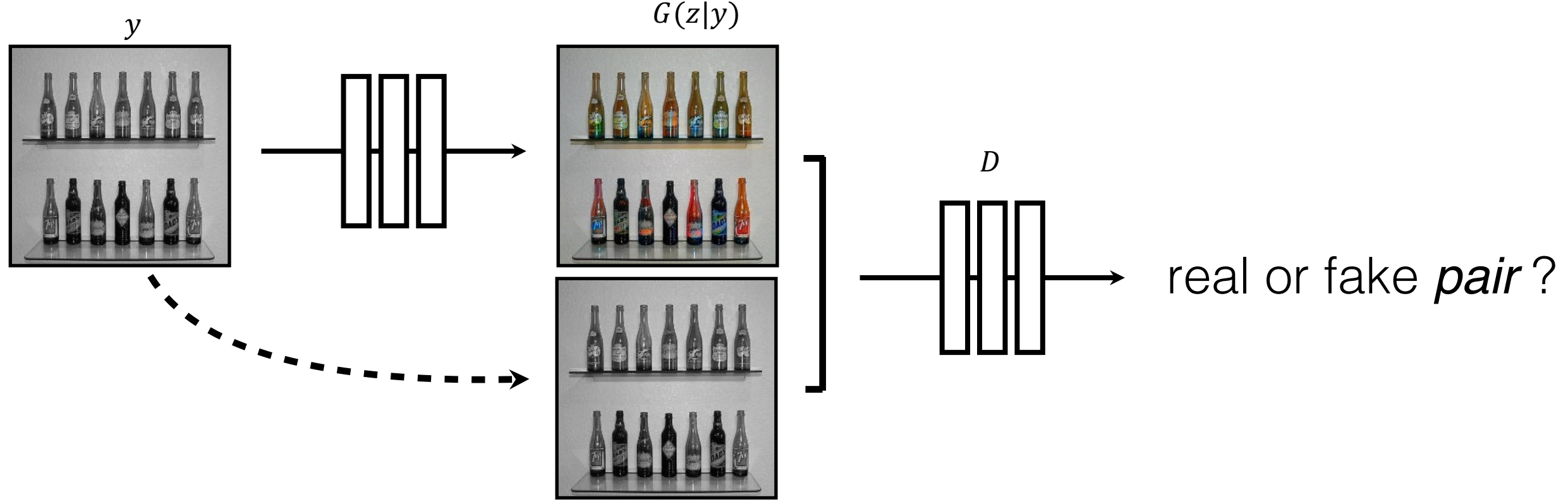


$$\operatorname{argmax}_D \operatorname{argmin}_G \mathbb{E}_{x,y} [\log D(x,y) + \log(1 - D(G(z|y), y))]$$









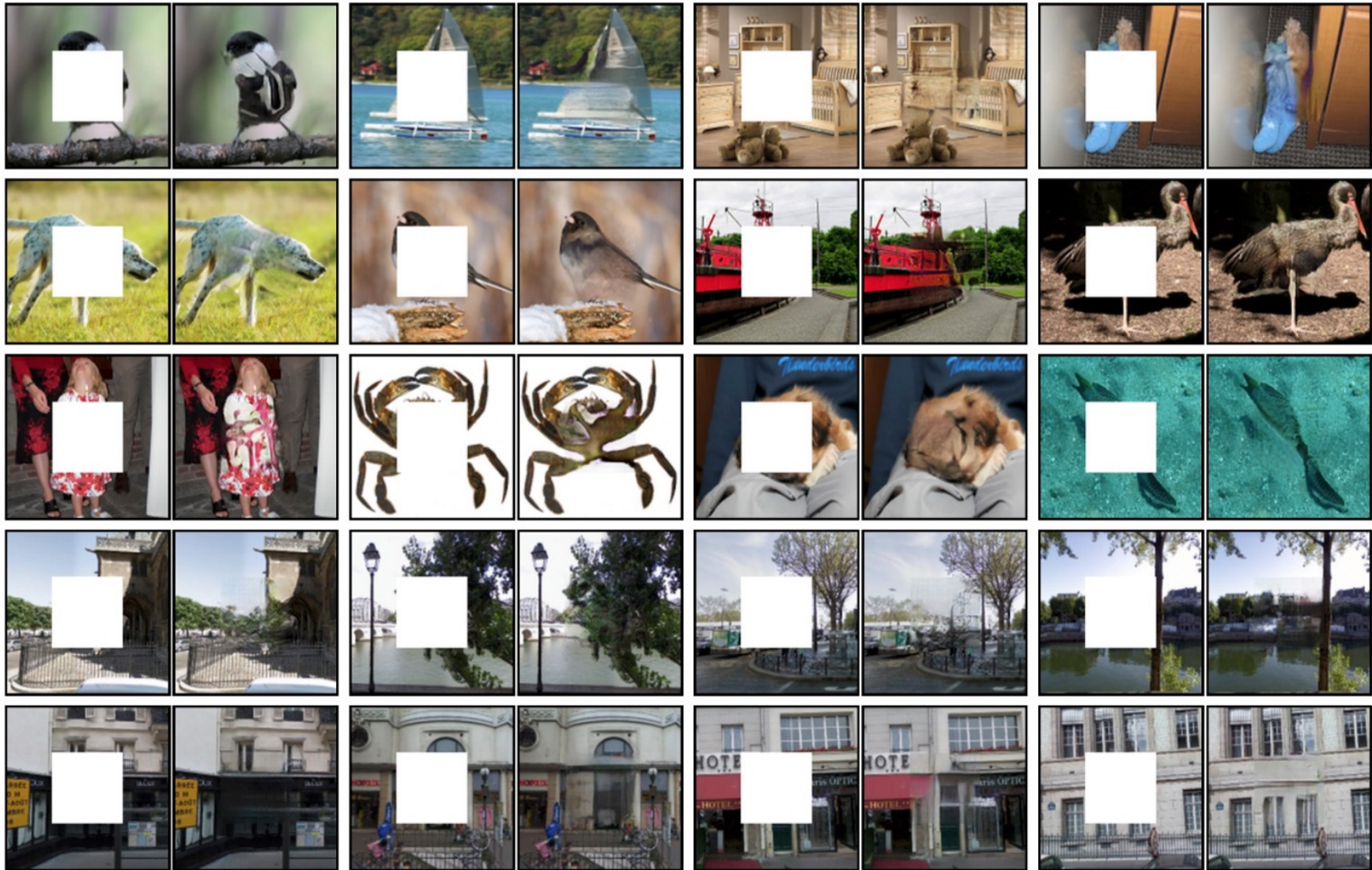
$$\operatorname{argmax}_D \operatorname{argmin}_G \mathbb{E}_{x,y} [\log D(x, y) + \log(1 - D(G(z|y), y))]$$

Qual è il ruolo del random noise?

- Se l'input è sufficientemente complesso, CGAN non hanno bisogno di z

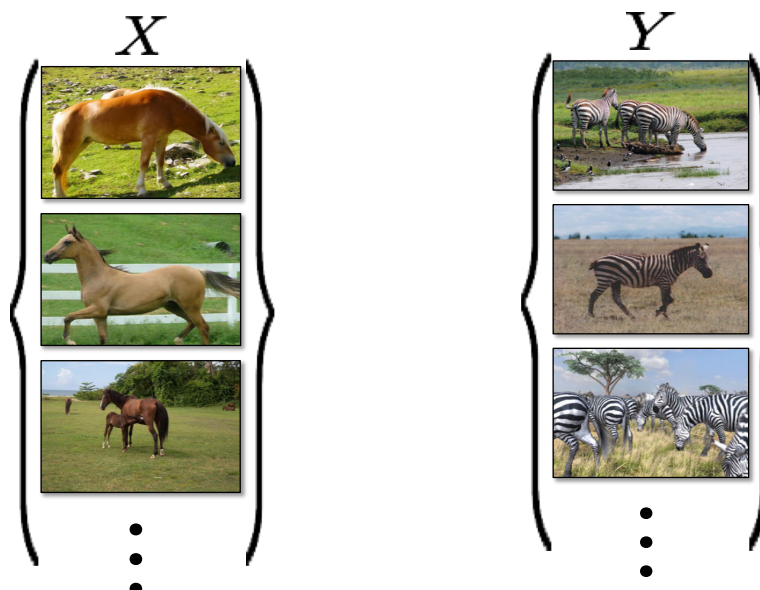
$$[\log D(x, y) + \log(1 - D(G(y), y))]$$

Image Inpainting

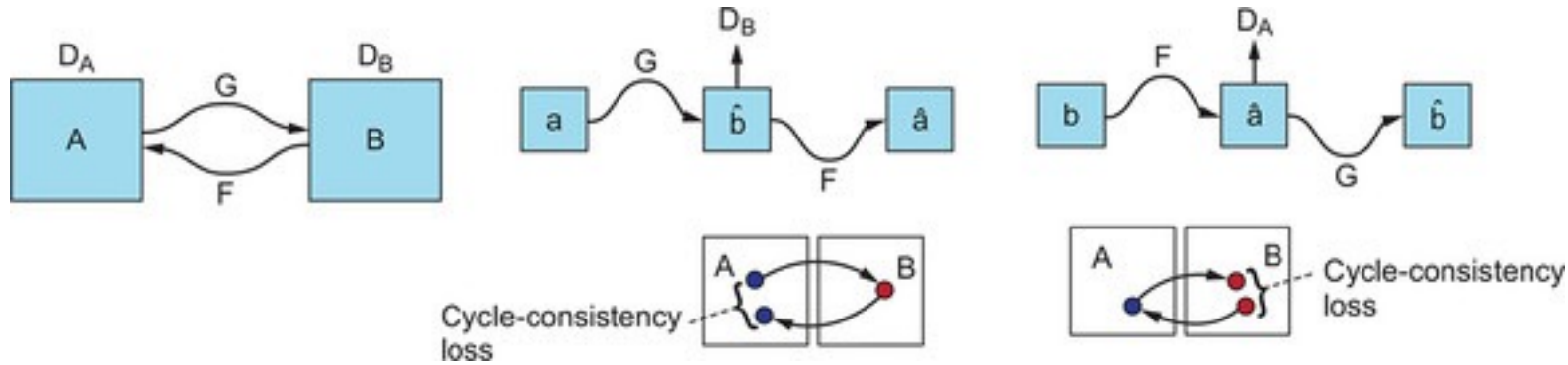


Unpaired image translation

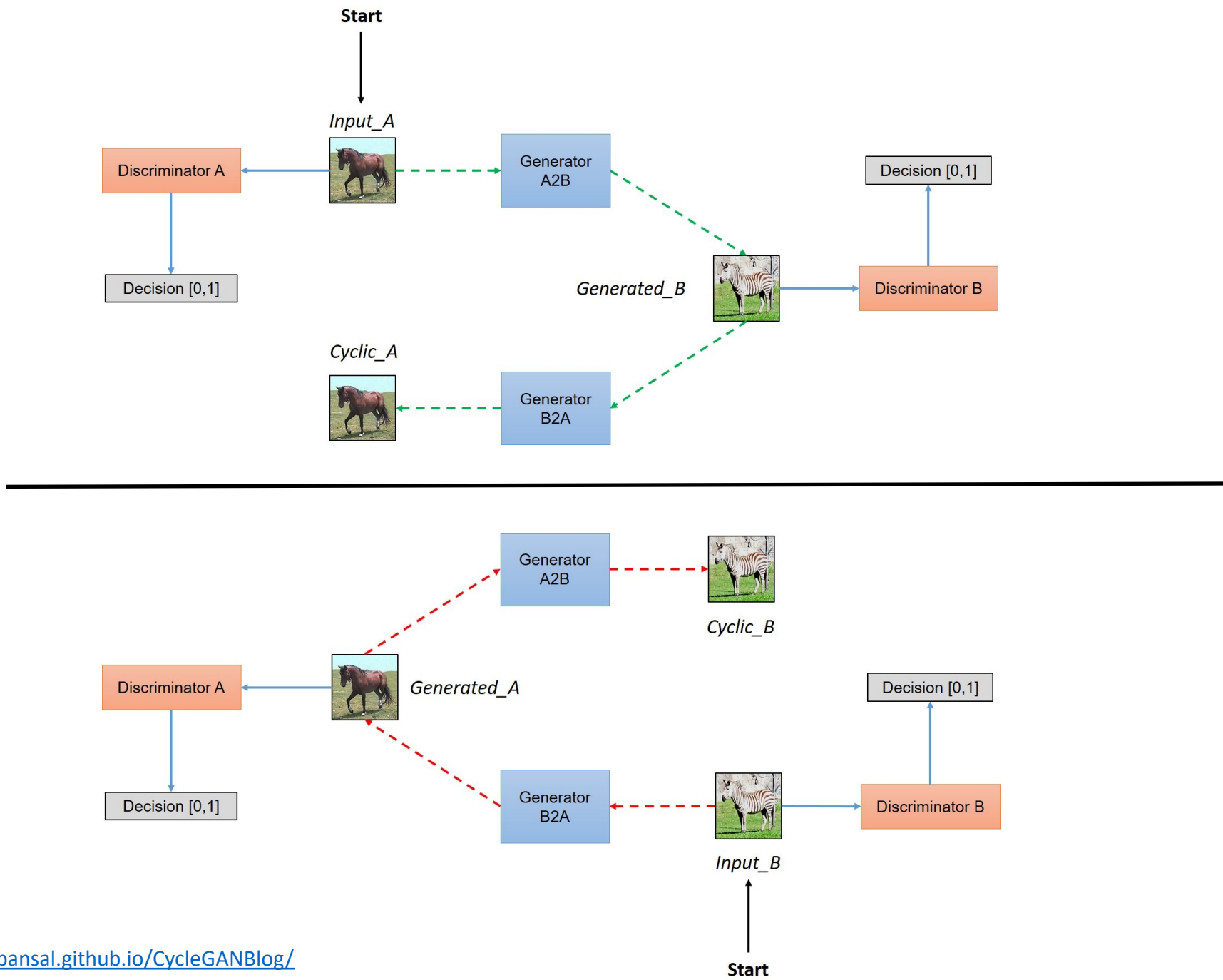
- Tutti gli esempi precedenti si basano sul fatto di poter accoppiare l'input all'output desiderato
- Che succede se le coppie sono inconsistenti?



CycleGAN



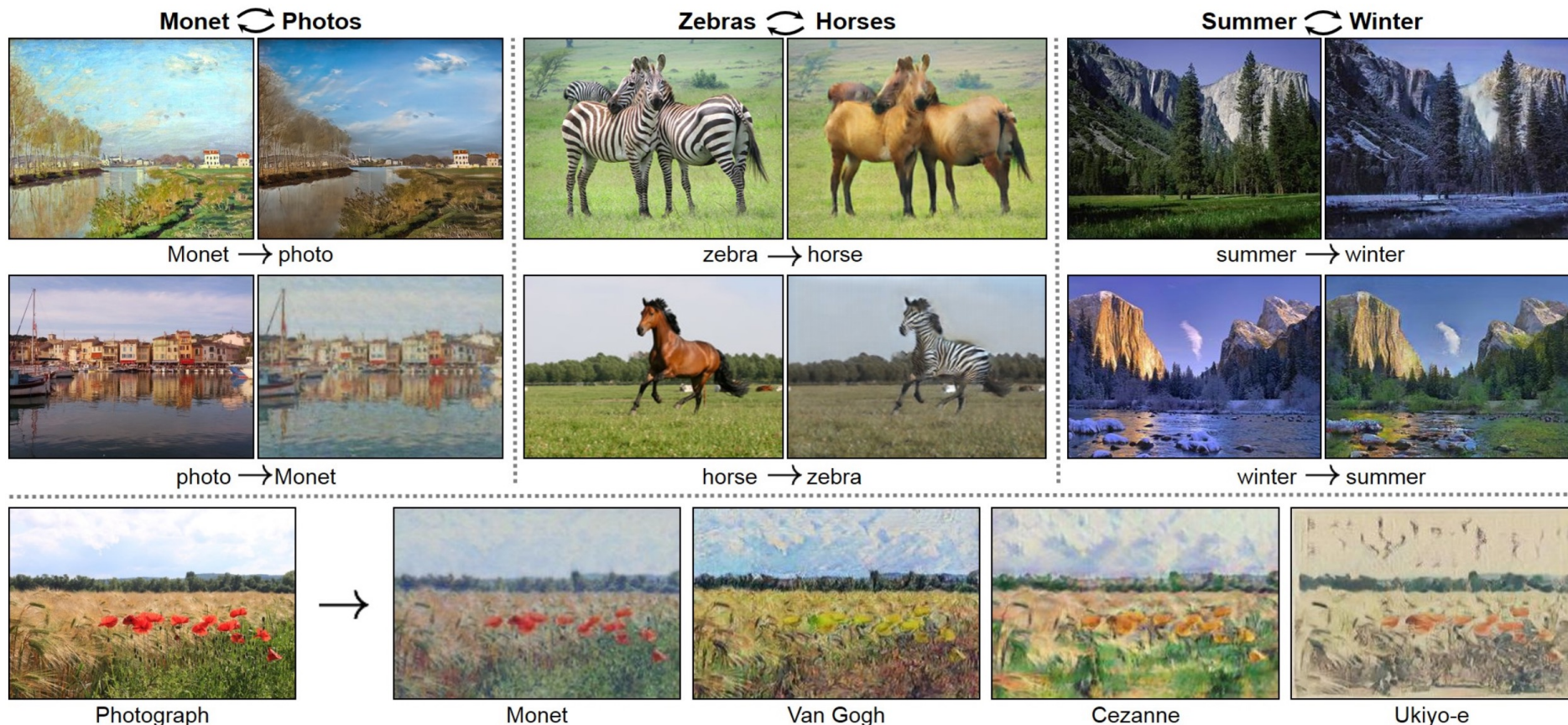
- Due Conditional GAN combinate
 - Ogni discriminatore accetta due input
 - L'immagine originale corrispondente a quel dominio e l'immagine generata
 - Aggiustamenti
 - Cycle-consistency loss
 - Identity loss



CycleGAN

- Component-wise loss:
 - $L_{GAN}(D_A, G) = \mathbb{E}_x[\log D_A(x) + \log(1 - D_A(G(x)))]$
 - $L_{GAN}(D_B, F) = \mathbb{E}_y[\log D_B(y) + \log(1 - D_B(F(y)))]$
- Consistency loss:
 - $L_{CYCLE}(G, F) = \mathbb{E}_x \left[\|F(G(x)) - x\|_1 \right] + \mathbb{E}_y [\|G(F(y)) - y\|_1]$
- Overall loss:
 - $L_{GAN}(D_A, D_B, G, F) = L_{GAN}(D_A, G) + L_{GAN}(D_B, F) + \lambda L_{CYCLE}(G, F)$

Applicazioni



<https://junyanz.github.io/CycleGAN/>

